



Centre de Medicina Regenerativa de Barcelona
Centro de Medicina Regenerativa de Barcelona
Center of Regenerative Medicine in Barcelona

ANEXOS A LA SOLICITUD DE DEPÓSITO DE LA LÍNEA CELULAR [MS] FiPS3-R4F-1 EN EL BANCO NACIONAL DE LÍNEAS CELULARES

ANEXOS

Anexo 1: Fenotipo. Marcadores de pluripotencia

Anexo 2: Diferenciación *in vitro*

Anexo 3: Cariotipo

Anexo 4: Resultados microsatélites

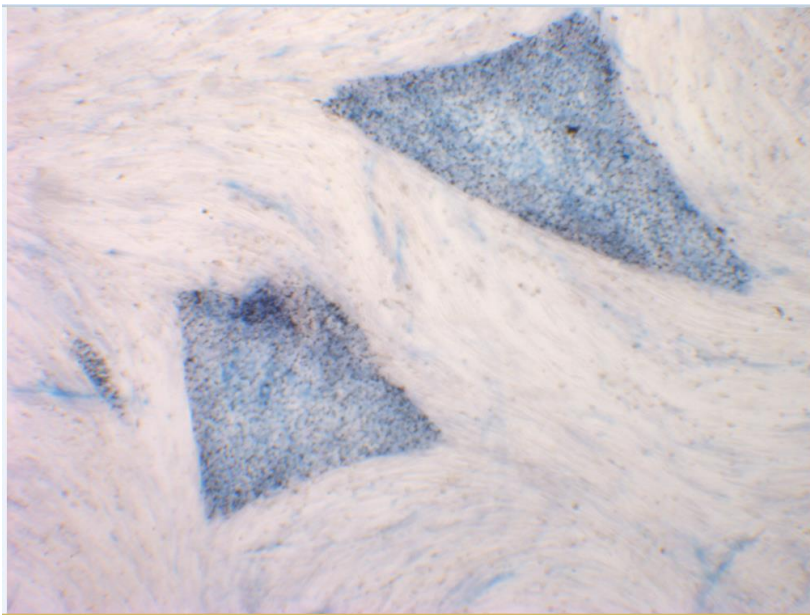
Anexo 5: Integración y silenciamiento de los transgenes de reprogramación

Anexo 6: Genotipado

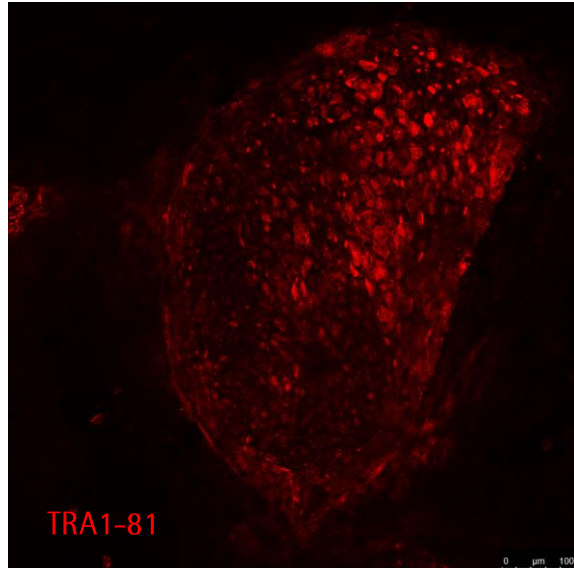
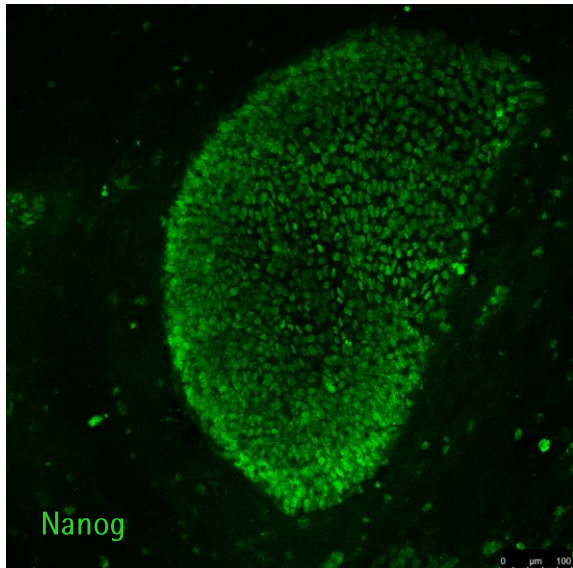
Anexo 7: Resultado test de micoplasma

Anexo 1

Fenotipo. Marcadores de pluripotencia

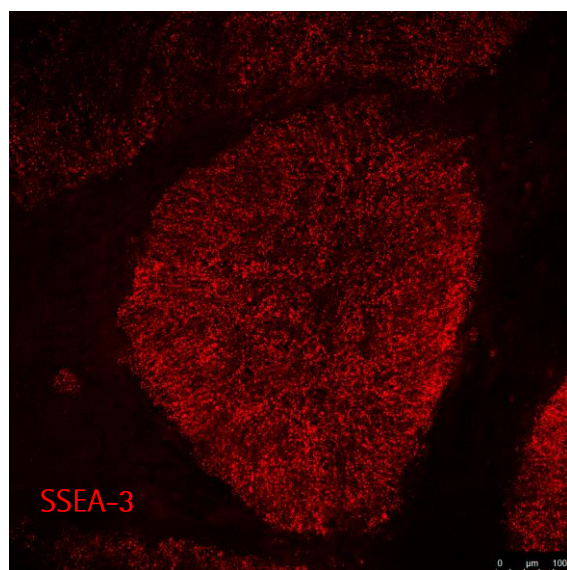
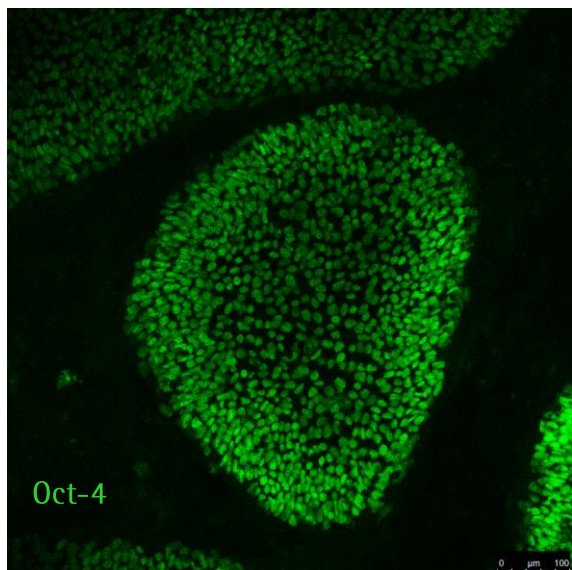


Actividad **fosfatasa alcalina** de la línea de células pluripotentes



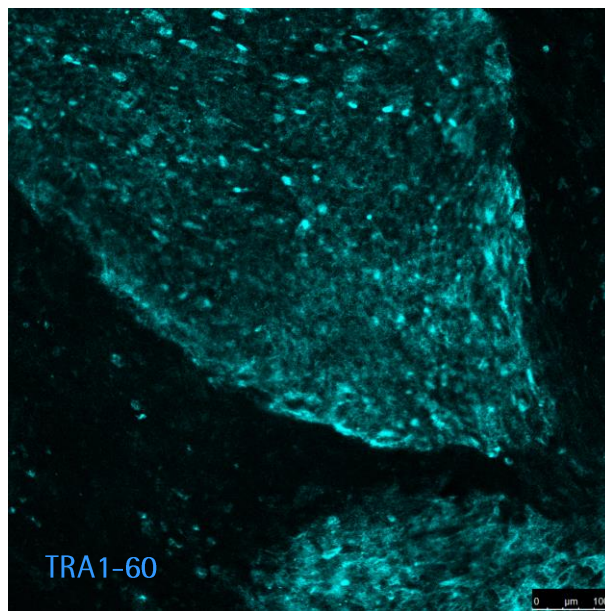
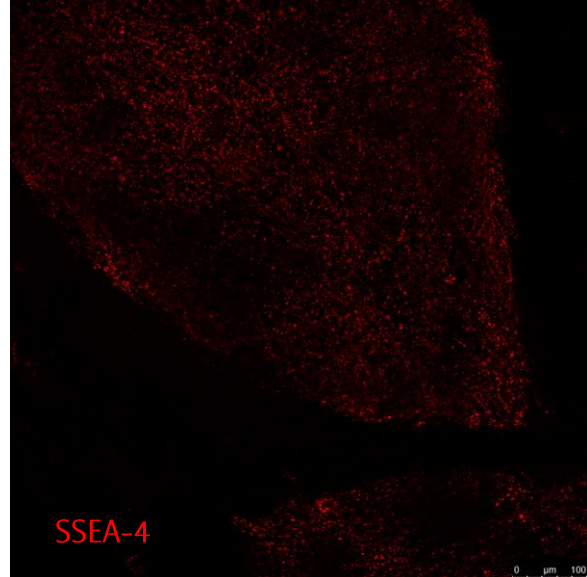
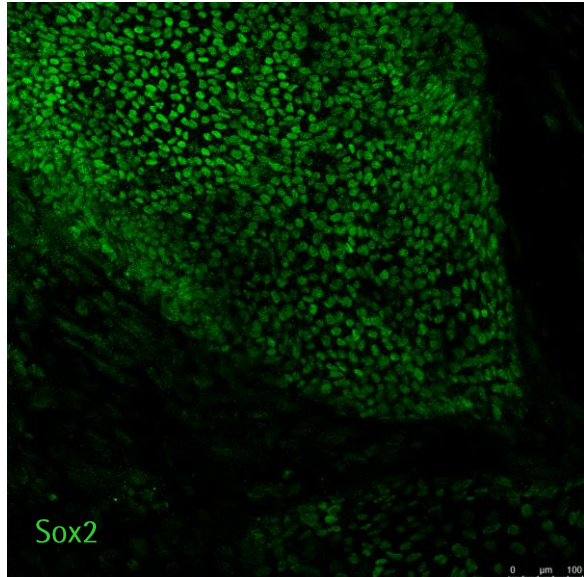
Resultado positivo por inmunocitoquímica para las proteínas de pluripotencia

Nanog y TRA1-81



Resultado positivo por inmunocitoquímica para las proteínas de pluripotencia

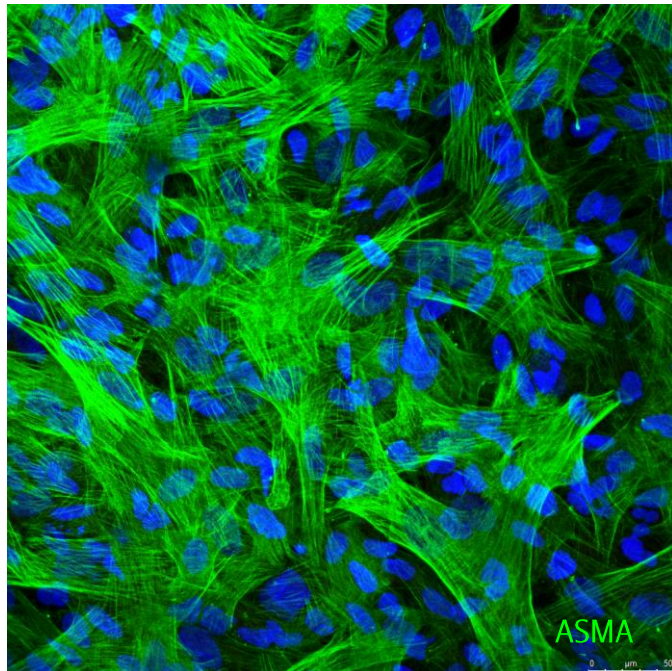
Oct-4 y SSEA-3



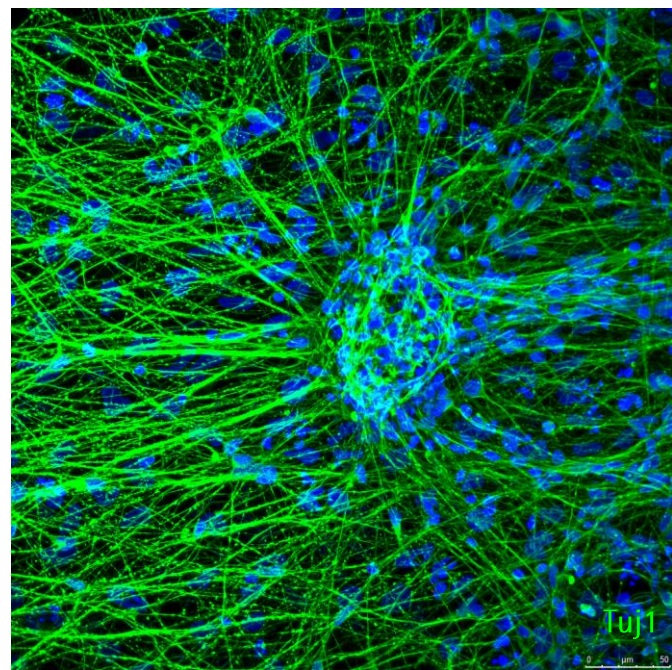
Resultado positivo por inmunocitoquímica para las proteínas de pluripotencia
Sox-2, SSEA-4 y TRA1-60

Anexo 2

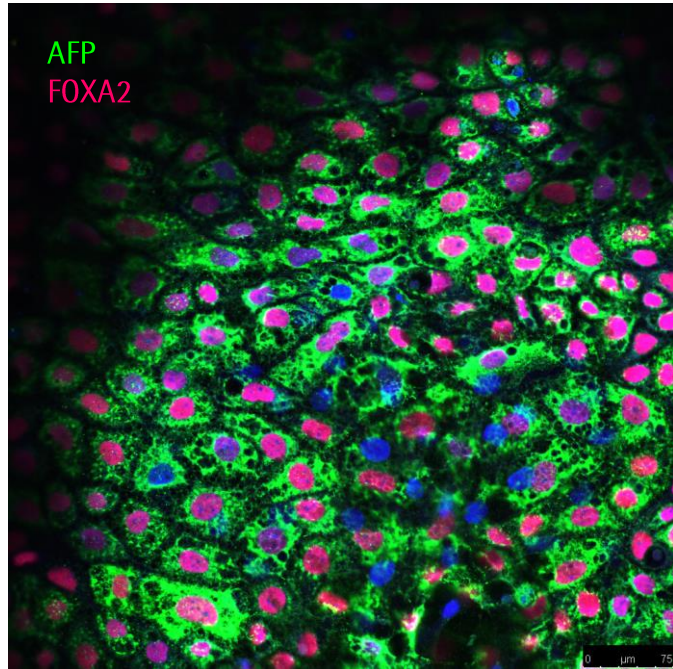
Diferenciación *in vitro*



Diferenciación *in vitro* a mesodermo: Células positivas para **ASMA**



Diferenciación *in vitro* a ectodermo: Células positivas para **Tuj1**



Diferenciación *in vitro* a endodermo: Células positivas para **AFP** y **FOXA2**

Anexo 3

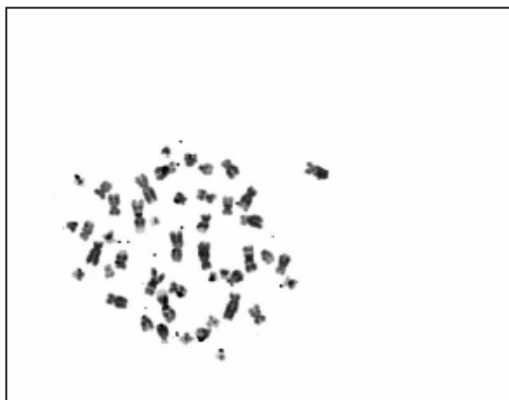
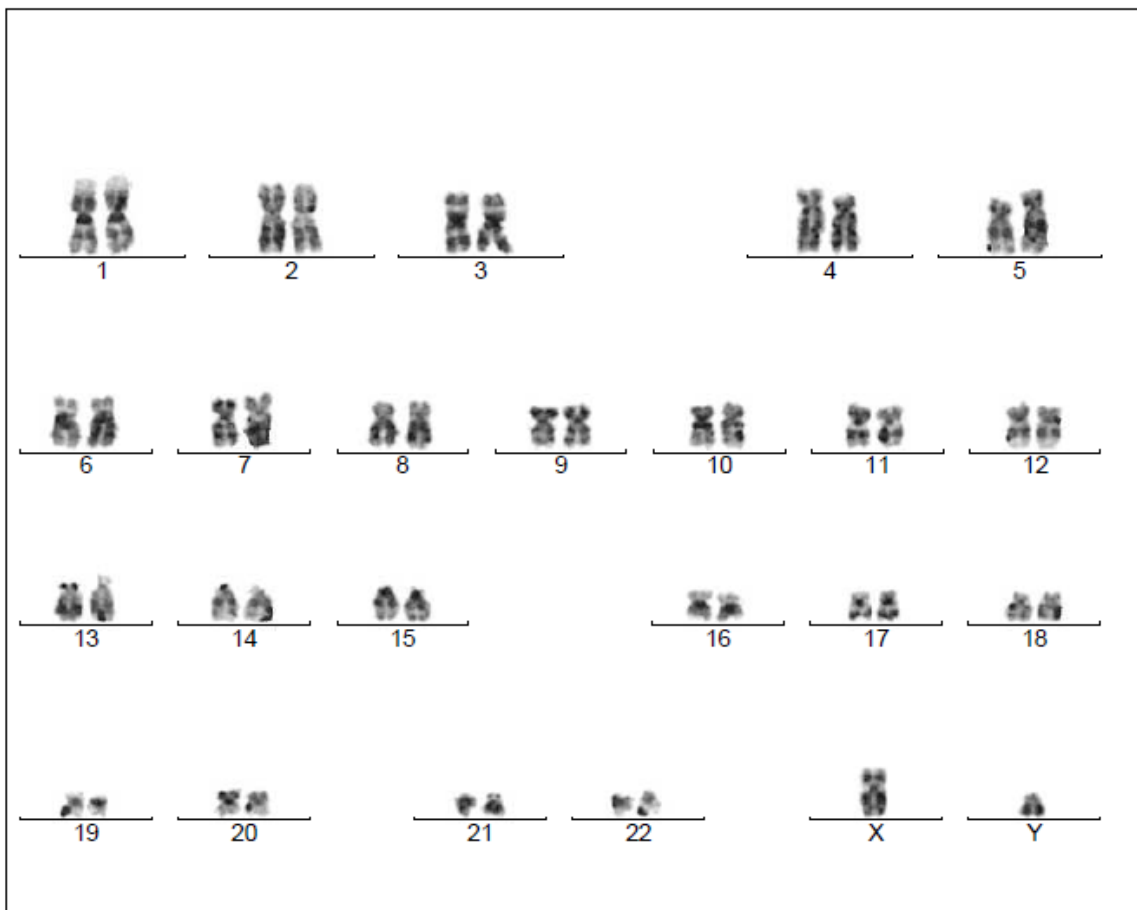
Cariotipo



Ambar

ANÀLISIS MÈDIQUES
BARCELONA

Cytogenetic analysis



Case name: A161155

Patient name: [MS] Fips 3 R4F-1 P12

Specimen type: stem cells

Result: 46,XY

Anexo 4

Resultado microsatélites

Table 5. The GenePrint® 10 System Allelic Ladder Information.

STR Locus	Label	Size Range of Allelic Ladder Components ^{a,2} (bases)	Repeat Numbers of Allelic Ladder Components
TH01	FL	156–195	4–9, 9.3, 10–11, 13.3
D21S11	FL	203–259	24, 24.2, 25, 25.2, 26–28, 28.2, 29, 29.2, 30, 30.2, 31, 31.2, 32, 32.2, 33, 33.2, 34, 34.2, 35, 35.2, 36–38
D5S818	JOE	119–155	7–16
D13S317	JOE	176–208	7–15
D7S820	JOE	215–247	6–14 ^b
D16S539	JOE	264–304	5, 8–15
CSF1PO	JOE	321–357	6–15
Amelogenin	TMR	106, 112	X, Y
vWA	TMR	123–171	10–22
TPOX	TMR	262–290	6–13

^aThe length of each allele in the allelic ladder has been confirmed by sequence analysis.

^bWhen using an internal lane standard, such as the Internal Lane Standard 600, the calculated sizes of allelic ladder components may differ from those listed. This occurs because different sequences in allelic ladder and ILS components may cause differences in migration. The dye label also affects migration of alleles.

^cHeLa cells have a microvariant allele 13.3 at the D13S317 locus. This will appear as an off-ladder allele (see www.cstl.nist.gov/strbase/var_D13S317.htm#Tri).

Figura 1. Información de la casa comercial Promega sobre la relación entre cada uno de los loci STR amplificados y las repeticiones (en rangos de tamaño y número) que pueden estar presentes en dichos productos de PCR.

RESULTADOS:

A continuación se detalla la correlación entre el código de muestra de Biobanco y la línea celular procesada:

código Biobanco	Línea celular
32151906050	MS FiPS 3-R4F-1 p16

En la tabla siguiente se muestran los resultados correspondientes a los alelos encontrados para cada uno de los marcadores microsatélites analizados.

Línea celular	Locí STR analizados									
	AMEL	CSF1PO	D13S317	D16S539	D21S11	D5S818	D7S820	TH01	TPOX	vWA
MS FiPS 3-R4F-1 p16	X, Y	10, 11	11, 12	12, 13	30, 31	11	10, 12	9, 9.3	9, 11	18

Granada, a 11 de Diciembre de 2015

Área de Biología Molecular

RESULTADOS:

A continuación se detalla la correlación entre el código de muestra de Biobanco y la línea celular procesada:

código Biobanco	Línea celular
32151906041	EM3F-DGC p4

En la tabla siguiente se muestran los resultados correspondientes a los alelos encontrados para cada uno de los marcadores microsatélites analizados.

Línea celular	Locí STR analizados									
	AMEL	CSF1PO	D13S317	D16S539	D21S11	D5S818	D7S820	TH01	TPOX	vWA
EM3F-DGC p4	X, Y	10, 11	11, 12	12, 13	30, 31	11	10, 12	9, 9.3	9, 11	18

Granada, a 11 de Diciembre de 2015

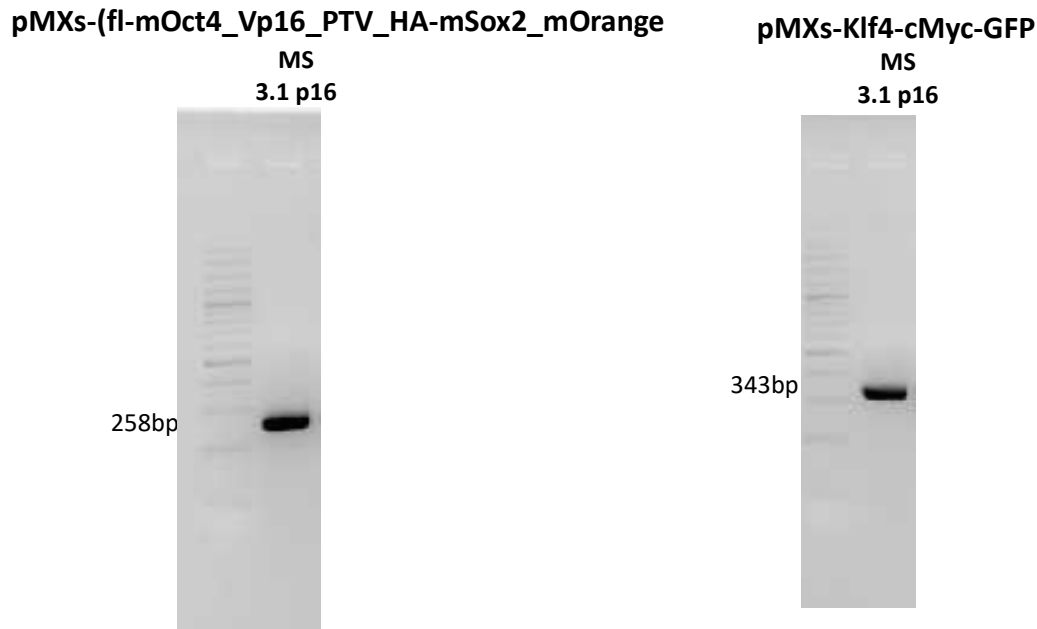


Área de Biología Molecular

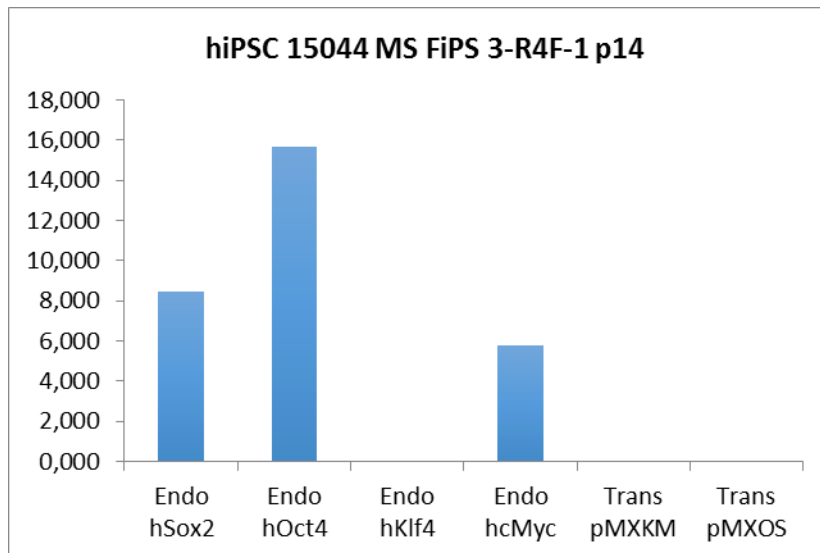
Análisis de microsatélites en la línea de células madre pluripotentes **[MS] FiPS3-R4F-1** y en la línea de fibroblastos de la cual proceden.

Anexo 5

Integración y silenciamiento de los transgenes de reprogramación



Análisis gPCR mostrando las integraciones genómicas de los genes Oct-4, Sox-2, Klf4 y c-Myc utilizados para generar la línea



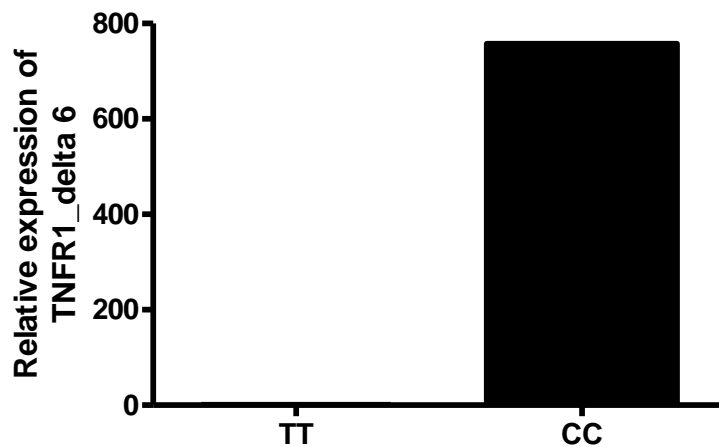
Silenciamiento de los transgenes de reprogramación. Análisis por Q-RT-PCR de los niveles de los niveles de expresión de los transgenes indicados. Se muestra expresión relativa a GAPDH



Centre de Medicina Regenerativa de Barcelona
Centro de Medicina Regenerativa de Barcelona
Center of Regenerative Medicine in Barcelona

Anexo 6

Genotipado



La línea **MS FiPS3-R4F-1** presenta el genotipo CC en el polimorfismo rs1800693 de TNFRSF1A, comparado con 3 controles de genotipo TT.

Anexo 7

Resultado test de micoplasma

MYCOPLASMA TEST

05-01-2016

1 2 3 4 5 6 7



1. MS FiPS2-R4F-10 p12
2. MS FiPS3-R4F-1 p15
3. MS FiPS4-R4F-1 p18
4. MS FiPS5-R4F-6 p26
5. MS FiPS6-R4F-2 p10
6. CT -
7. CT +